

7 自旋

7.1* Stern-Gerlach 实验

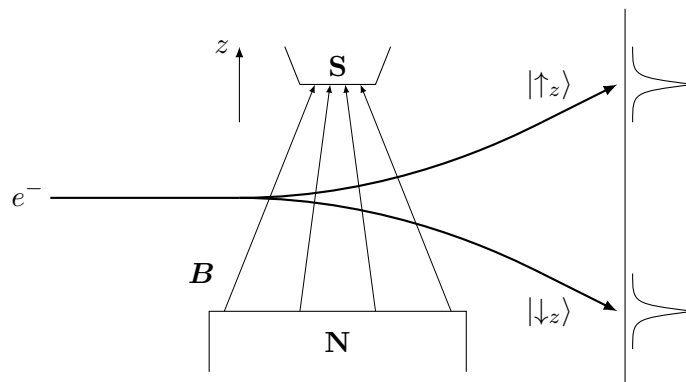


图 1 Stern-Gerlach 实验示意图

分裂是由于粒子磁矩与磁场相互作用引起的，磁偶极矩在均匀外磁场中的势能

$$V = -\boldsymbol{\mu} \cdot \boldsymbol{B}.$$

在很小线度内非均匀磁场的作用下

$$\begin{aligned} \boldsymbol{F} &= -\nabla V = \nabla(\boldsymbol{\mu} \cdot \boldsymbol{B}) \\ &= (\boldsymbol{\mu} \cdot \nabla)\boldsymbol{B} + \underbrace{(\boldsymbol{B} \cdot \nabla)\boldsymbol{\mu}}_0 + \boldsymbol{\mu} \times \underbrace{(\nabla \times \boldsymbol{B})}_0 + \boldsymbol{B} \times \underbrace{(\nabla \times \boldsymbol{\mu})}_0 \end{aligned}$$

因此磁矩仅在 \$z\$ 方向上受力

$$\boldsymbol{F} = 0 + 0 + \mu_z \frac{\partial B_z}{\partial z} \boldsymbol{k}.$$

银原子第一激发能 10.2 eV，而热运动能量 \$\sim k_B T\$

$$T = 1 \times 10^5 \text{ K}, \quad k_B T = 8.6 \text{ eV}$$

一般实验条件，温度 \$\ll 10^5 \text{ K}\$，银原子处于基态。只有当磁矩为量子化的（即磁矩在 \$z\$ 方向的投影量子化）时，条纹才可能是分立的。

银原子在磁场中只有两个取向，有力地证明了原子在磁场中的取向是量子化的。如果角动量空间量子化理论是正确的，要得到偶数个 \$\mu_z\$ 的值，唯一可能性是角量子数不是整数，而是半整数。说明电子除具有轨道角动量外还应具有自旋角动量。

7.2 电子自旋

电子自旋假设

1. 电子不是质点，有内禀的运动——自旋。
2. 自旋角动量与轨道角动量类似

$$|\mathbf{S}| = \sqrt{s(s+1)}\hbar.$$

其中 s 为自旋量子数。

3. 电子自旋角动量在空间相对外磁场的取向也是空间量子化的，

$$s_z = \pm \frac{\hbar}{2}.$$

自旋的表达 自旋算符 $\hat{\mathbf{S}}$ 和轨道角动量算符 $\hat{\mathbf{L}}$ 具有相同形式关系

$$\hat{\mathbf{S}} = \hat{S}_x \mathbf{i} + \hat{S}_y \mathbf{j} + \hat{S}_z \mathbf{k}.$$

满足角动量算符的共有性质

$$\hat{\mathbf{S}} \times \hat{\mathbf{S}} = i\hbar \hat{\mathbf{S}} \quad (7.1)$$

$\{\hat{S}^2, \hat{S}_z\}$ 的共同本征态 $|s, m\rangle$

$$\hat{S}^2 |s, m\rangle = s(s+1)\hbar^2 |s, m\rangle, \quad s = 0, 1/2, 1, \dots \quad (7.2)$$

$$\hat{S}_z |s, m\rangle = m\hbar |s, m\rangle, \quad m = -s, -s+1, \dots, s. \quad (7.3)$$

讨论 $s = 1/2$ $\hat{\mathbf{S}}$ 在任意方向上的投影只能取两个数值 $\pm\hbar/2$ ，表象

$$|\uparrow\rangle \equiv |\pm\rangle := \left| \frac{1}{2}, \pm \frac{1}{2} \right\rangle.$$

Pauli 算符 定义

$$\hat{\mathbf{S}} = \frac{\hbar}{2} \hat{\boldsymbol{\sigma}}.$$

有对易关系

$$\hat{\boldsymbol{\sigma}} \times \hat{\boldsymbol{\sigma}} = 2i\hat{\boldsymbol{\sigma}}.$$

由 \hat{S}_x 等的本征值知， $\hat{\sigma}_x, \hat{\sigma}_y, \hat{\sigma}_z$ 的本征值均为 ± 1 。

将 $\hat{\sigma}_z \hat{\sigma}_x - \hat{\sigma}_x \hat{\sigma}_z = 2i\hat{\sigma}_y$ 分别左、右乘 $\hat{\sigma}_x$ ，再结合 $\hat{\sigma}_x^2 = 1$

$$\begin{cases} \hat{\sigma}_x \hat{\sigma}_z \hat{\sigma}_x - \hat{\sigma}_z = 2i\hat{\sigma}_x \hat{\sigma}_y \\ \hat{\sigma}_z - \hat{\sigma}_x \hat{\sigma}_z \hat{\sigma}_x = 2i\hat{\sigma}_y \hat{\sigma}_x \end{cases} \Rightarrow \hat{\sigma}_x \hat{\sigma}_y = -\hat{\sigma}_y \hat{\sigma}_x = i\hat{\sigma}_z. \quad (7.4)$$

或

$$\hat{\sigma}_\alpha \hat{\sigma}_\beta = \delta_{\alpha\beta} + i \sum_{\gamma} \varepsilon_{\alpha\beta\gamma} \hat{\sigma}_\gamma. \quad (7.5)$$

其中 $\varepsilon_{\alpha\beta\gamma}$ 是 Levi-Civita 符号.

自旋算符的矩阵形式-Pauli 矩阵 在 $\{\hat{\sigma}^2, \hat{\sigma}_z\}$ 表象下

$$\sigma_z = \begin{bmatrix} 1 & 0 \\ 0 & -1 \end{bmatrix}, \quad (7.6)$$

由 $\sigma_x^\dagger = \sigma_x$, $\sigma_x \sigma_z = -\sigma_z \sigma_x$, 可设

$$\begin{bmatrix} a & b \\ b^* & c \end{bmatrix} \begin{bmatrix} 1 & 0 \\ 0 & -1 \end{bmatrix} = - \begin{bmatrix} 1 & 0 \\ 0 & -1 \end{bmatrix} \begin{bmatrix} a & b \\ b^* & c \end{bmatrix},$$

$a = c = 0$, 又 $\sigma_x^2 = 1$, 可取

$$\sigma_x = \begin{bmatrix} 0 & 1 \\ 1 & 0 \end{bmatrix}, \quad (7.7)$$

进而

$$\sigma_y = i\sigma_x \sigma_z = \begin{bmatrix} 0 & -i \\ i & 0 \end{bmatrix} \quad (7.8)$$

Pauli 矩阵都是 Hermite 的、零迹的、自逆的.

电子自旋态 电子的旋量波函数 (spinor)

$$\psi(\mathbf{r}, t) = \begin{bmatrix} \psi_1(\mathbf{r}, t) \\ \psi_2(\mathbf{r}, t) \end{bmatrix} \equiv \psi_1(\mathbf{r}, t) |\uparrow_z\rangle + \psi_2(\mathbf{r}, t) |\downarrow_z\rangle.$$

一般情况, 自旋运动和轨道运动有相互作用, 此时 $\psi_1 \neq \psi_2$. 当自旋和轨道非耦合时, 可以分离出自旋波函数 $\chi(s_z)$

$$\psi(\mathbf{r}, t) = \psi_0(\mathbf{r}, t) \chi(s_z).$$

电子自旋磁矩 实验发现，电子自旋磁矩等于 Bohr 磁矩

$$\mu_B = \frac{e\hbar}{2m_e},$$

则电子自旋磁矩算符

$$\hat{\boldsymbol{\mu}}_s := -\frac{2}{\hbar}\mu_B\hat{\mathbf{S}} = -\frac{e}{m_e}\hat{\mathbf{S}}.$$

则

$$\hat{\mu}_{sz}|\pm\rangle = \mp\mu_B|\pm\rangle.$$

轨道磁矩 $\hat{\boldsymbol{\mu}}_\ell$ 和自旋磁矩 $\hat{\boldsymbol{\mu}}_s$

$$\hat{\boldsymbol{\mu}}_\ell = g_\ell \frac{\mu_B}{\hbar} \hat{\mathbf{L}}, \quad \hat{\boldsymbol{\mu}}_s = g_s \frac{\mu_B}{\hbar} \hat{\mathbf{S}},$$

其中旋磁比 $g_\ell = 1$ ，而 $g_s = 2$ ，这是一种相对论效应。

例 7.2.1: 自旋翻转

处于恒稳磁场

$$\mathbf{B} = B_0[\sin\theta \cos\varphi, \sin\theta \sin\varphi, \cos\theta]$$

中的电子， $t = 0$ 时处于 $|\uparrow_z\rangle$ 态，求 $t > 0$ 自旋翻转的概率。

解： Hamilton 量

$$\hat{H} = -\hat{\boldsymbol{\mu}}_s \cdot \mathbf{B} = \mu_B \hat{\boldsymbol{\sigma}} \cdot \mathbf{B} = \mu_B B_0 \begin{bmatrix} \cos\theta & \sin\theta e^{-i\varphi} \\ \sin\theta e^{i\varphi} & -\cos\theta \end{bmatrix},$$

易得，能量本征值 $\pm\mu_B B_0$ ，及本征态

$$\begin{aligned} |\uparrow_u\rangle &= \cos\frac{\theta}{2} e^{-i\varphi/2} |\uparrow_z\rangle + \sin\frac{\theta}{2} e^{i\varphi/2} |\downarrow_z\rangle, \\ |\downarrow_u\rangle &= -\sin\frac{\theta}{2} e^{-i\varphi/2} |\uparrow_z\rangle + \cos\frac{\theta}{2} e^{i\varphi/2} |\downarrow_z\rangle. \end{aligned}$$

将待求波函数按定态展开，

$$\begin{aligned} \psi(0) &= |\uparrow_z\rangle = \cos\frac{\theta}{2} e^{i\varphi/2} |\uparrow_u\rangle - \sin\frac{\theta}{2} e^{i\varphi/2} |\downarrow_u\rangle; \\ \psi(t) &= \cos\frac{\theta}{2} e^{i\varphi/2} e^{-i\mu_B B_0 t/\hbar} |\uparrow_u\rangle - \sin\frac{\theta}{2} e^{i\varphi/2} e^{i\mu_B B_0 t/\hbar} |\downarrow_u\rangle. \end{aligned}$$

因此自旋翻转的概率

$$|\langle\downarrow_z|\psi\rangle|^2 = \sin^2\theta \sin^2\frac{\mu_B B_0}{\hbar} t.$$

7.3 角动量算符

若矢量算符 $\hat{\mathbf{J}}$ 满足对易关系

$$\hat{\mathbf{J}} \times \hat{\mathbf{J}} = i\hbar \hat{\mathbf{J}}.$$

则称 $\hat{\mathbf{J}}$ 为角动量算符，易证，其平方算符与其分量对易

$$[\hat{J}^2, \hat{J}_i] = 0.$$

取守恒量完全集 $\{\hat{J}^2, \hat{J}_z\}$ ，定义升降算符

$$\hat{J}_{\pm} := \hat{J}_x \pm i\hat{J}_y. \quad (7.9)$$

注意，升降算符不是 Hermite 的

$$\hat{J}_{\pm}^{\dagger} = \hat{J}_{\mp},$$

因此它也不是力学量.

注意到

$$\begin{aligned} \hat{J}_{\pm} \hat{J}_{\mp} &= (\hat{J}_x \pm i\hat{J}_y)(\hat{J}_x \mp i\hat{J}_y) \\ &= \hat{J}_x^2 \mp i[\hat{J}_x, \hat{J}_y] + \hat{J}_y^2 \\ &= \hat{J}_x^2 + \hat{J}_y^2 \pm \hbar \hat{J}_z. \end{aligned}$$

因此

$$\hat{J}^2 = \hat{J}_{\pm} \hat{J}_{\mp} + \hat{J}_z^2 \mp \hbar \hat{J}_z. \quad (7.10)$$

角动量的本征值谱 设 $\{\hat{J}^2, \hat{J}_z\}$ 的本征态为 $|\lambda, m\rangle$

$$\begin{aligned} \hat{J}^2 |\lambda, m\rangle &= \lambda \hbar^2 |\lambda, m\rangle, \\ \hat{J}_z |\lambda, m\rangle &= m \hbar |\lambda, m\rangle. \end{aligned}$$

由 $[\hat{J}^2, \hat{J}_{\pm}] = 0$,

$$\langle \lambda', m' | [\hat{J}^2, \hat{J}_{\pm}] | \lambda, m \rangle = (\lambda' - \lambda) \hbar^2 \langle \lambda', m' | \hat{J}_{\pm} | \lambda, m \rangle = 0,$$

因此，只有当 $\lambda = \lambda'$ 时， $\langle \lambda', m' | \hat{J}_{\pm} | \lambda, m \rangle$ 才可能不为 0:

$$\langle \lambda', m' | \hat{J}_{\pm} | \lambda, m \rangle = \delta_{\lambda\lambda'} \langle \lambda, m' | \hat{J}_{\pm} | \lambda, m \rangle. \quad (7.11)$$

$$\text{由 } [\hat{J}_z, \hat{J}_\pm] = \pm \hbar \hat{J}_\pm,$$

$$\begin{aligned} \langle \lambda, m' | [\hat{J}_z, \hat{J}_\pm] | \lambda, m \rangle &= (m' - m \mp 1) \hbar \langle \lambda, m' | \hat{J}_\pm | \lambda, m \rangle \\ &= \pm \hbar \langle \lambda, m' | \hat{J}_\pm | \lambda, m \rangle, \end{aligned}$$

因此 \hat{J}_\pm 使 m 加、减 1:

$$\langle \lambda', m' | \hat{J}_\pm | \lambda, m \rangle = \delta_{\lambda\lambda'} \delta_{m\pm 1, m'} \langle \lambda, m \pm 1 | \hat{J}_\pm | \lambda, m \rangle. \quad (7.12)$$

$$\text{由 } [\hat{J}_+, \hat{J}_-] = 2\hbar \hat{J}_z,$$

$$\langle \lambda, m | [\hat{J}_+, \hat{J}_-] | \lambda, m \rangle = 2m\hbar^2.$$

插入封闭关系^I

$$\begin{aligned} \sum_{m'} \langle m | \hat{J}_+ | m' \rangle \langle m' | \hat{J}_- | m \rangle - \langle m | \hat{J}_- | m' \rangle \langle m' | \hat{J}_+ | m \rangle &= 2m\hbar^2 \\ &= \langle m | \hat{J}_+ | m-1 \rangle \langle m-1 | \hat{J}_- | m \rangle - \langle m | \hat{J}_- | m+1 \rangle \langle m+1 | \hat{J}_+ | m \rangle \end{aligned}$$

由

$$\langle m-1 | \hat{J}_- | m \rangle = \langle m | \hat{J}_+ | m-1 \rangle^*$$

上式即

$$\left| \langle m | \hat{J}_+ | m-1 \rangle \right|^2 - \left| \langle m-1 | \hat{J}_+ | m \rangle \right|^2 = 2m\hbar^2. \quad (7.13)$$

令 $\langle m+1 | \hat{J}_+ | m \rangle = \xi_m \hbar$, 则

$$|\xi_{m-1}|^2 - |\xi_m|^2 = 2m.$$

解得 $|\xi_m|^2 = -m(m+1) + \text{const.}$

因为要求 $|\xi_m|^2 \geq 0$, 因此

$$m(m+1) \leq \text{const.}$$

上式说明 m 存在一个上界 \bar{m} 和下界 \underline{m} , 使得

$$\begin{aligned} \xi_{\bar{m}} &= \langle \bar{m}+1 | \hat{J}_+ | \bar{m} \rangle = 0; \\ \xi_{\underline{m}-1} &= \langle \underline{m}-1 | \hat{J}_- | \underline{m} \rangle^* = 0. \end{aligned}$$

^I下面所有 λ 均相同, 故略去.

因此 $\text{const} = \bar{m}(\bar{m} + 1) = (\underline{m} - 1)\underline{m}$, 显然要求 $\bar{m} > \underline{m}$, 故 $\bar{m} = -\underline{m} =: j$.

由于相邻的 m 相差 1, 故 j 只能为半整数 $0, \frac{1}{2}, 1, \frac{3}{2}, \dots$, 且

$$|\xi_m|^2 = j(j+1) - m(m+1) = (j-m)(j+m+1).$$

下面求 \hat{J}^2 的本征值, 对

$$\hat{J}^2 = \frac{1}{2}(\hat{J}_+ \hat{J}_- + \hat{J}_- \hat{J}_+) + \hat{J}_z^2$$

取平均值

$$\lambda \hbar^2 = \frac{\hbar^2}{2} (|\xi_{m-1}|^2 + |\xi_m|^2) + m^2 \hbar^2$$

解得 $\lambda = j(j+1)$.

因此 \hat{J}^2, \hat{J}_z 是对角矩阵

$$\hat{J}^2 |j, m\rangle = j(j+1) \hbar^2 |j, m\rangle, \quad j = 0, \frac{1}{2}, 1, \frac{3}{2}, 2, \dots \quad (7.14)$$

$$\hat{J}_z |j, m\rangle = m \hbar |j, m\rangle, \quad m = -j, -j+1, \dots, j. \quad (7.15)$$

比如对于电子的自旋, $j = 1/2, m = \pm 1/2$.

而 \hat{J}_\pm 的矩阵元

$$\hat{J}_\pm |j, m\rangle = \sqrt{j(j+1) - m(m \pm 1)} |j, m \pm 1\rangle. \quad (7.16)$$

例 7.3.1: \hat{J}_x 的平均值

在 $\{\hat{J}^2, \hat{J}_z\}$ 的本征态 $|j, m\rangle$ 上

$$\bar{J}_x = \frac{1}{2}(\bar{J}_+ + \bar{J}_-) = \frac{1}{2} \langle j, m | J_+ + J_- | j, m \rangle = 0.$$

$$\overline{J_x^2} = \frac{1}{4} \langle j, m | J_+^2 + J_+ J_- + J_- J_+ + J_-^2 | j, m \rangle.$$

\hat{J}_y 同理, 故

$$\bar{J}_x = \bar{J}_y = 0,$$

$$\overline{J_x^2} = \overline{J_y^2} = \frac{1}{2} (\overline{J^2} - \overline{J_z^2}) = \frac{\hbar^2}{2} [\ell(\ell+1) - m^2].$$

例 7.3.2

基底 $|1, -1\rangle, |1, 0\rangle, |1, 1\rangle$, 为方便略去 $j \equiv 1$

$$J_x = \begin{bmatrix} 0 & \langle -1 | \hat{J}_x | 0 \rangle & 0 \\ \langle 0 | \hat{J}_x | -1 \rangle & 0 & \langle 0 | \hat{J}_x | 1 \rangle \\ 0 & \langle 1 | \hat{J}_x | 0 \rangle & 0 \end{bmatrix}$$

由

$$\begin{aligned} \langle m \pm 1 | \hat{J}_x | m \rangle &= \frac{\hbar}{2} \sqrt{j(j+1) - m(m \pm 1)}; \\ \langle m \pm 1 | \hat{J}_y | m \rangle &= \pm \frac{\hbar}{2i} \sqrt{j(j+1) - m(m \pm 1)}. \end{aligned}$$

可得

$$J_x = \frac{\hbar}{\sqrt{2}} \begin{bmatrix} 0 & 1 & 0 \\ 1 & 0 & 1 \\ 0 & 1 & 0 \end{bmatrix}, \quad J_y = \frac{i\hbar}{\sqrt{2}} \begin{bmatrix} 0 & 1 & 0 \\ -1 & 0 & 1 \\ 0 & -1 & 0 \end{bmatrix}.$$

7.4 角动量合成

设角动量 $\hat{\mathbf{J}}_1$ 和 $\hat{\mathbf{J}}_2$ 互相独立, 也即它们的分量分别满足角动量的对易关系, 而它们互相之间是对易的

$$[\hat{J}_{1\alpha}, \hat{J}_{2\beta}] = 0.$$

则矢量和 $\hat{\mathbf{J}} = \hat{\mathbf{J}}_1 + \hat{\mathbf{J}}_2$ 也是一个角动量算符, 称为总角动量, 它满足角动量的一般对易关系 $\hat{\mathbf{J}} \times \hat{\mathbf{J}} = i\hbar \hat{\mathbf{J}}$.

容易看出 \hat{J}^2 和 $\hat{\mathbf{J}}_1$ 和 $\hat{\mathbf{J}}_2$ 并不对易.

非耦合表象 力学量完全集 $\{\hat{J}_1^2, \hat{J}_{1z}, \hat{J}_2^2, \hat{J}_{2z}\}$, 基底

$$|j_1, m_1, j_2, m_2\rangle = |j_1, m_1\rangle \otimes |j_2, m_2\rangle,$$

也就是说, $\hat{\mathbf{J}}_1$ 只对 $|j_1, m_1\rangle$ 作用, $\hat{\mathbf{J}}_2$ 只对 $|j_2, m_2\rangle$ 作用.

维数 $(2j_1 + 1)(2j_2 + 1)$, 封闭关系

$$\sum_{m_1=-j_1}^{j_1} \sum_{m_2=-j_2}^{j_2} |j_1, m_1, j_2, m_2\rangle \langle j_1, m_1, j_2, m_2| = I.$$

耦合表象 力学量完全集 $\{\hat{J}_1^2, \hat{J}_2^2, \hat{J}^2, \hat{J}_z\}$, 基底

$$|j_1, j_2, j, m\rangle$$

封闭关系

$$\sum_{j=j_{\min}}^{j_{\max}} \sum_{m=-j}^j |j_1, j_2, j, m\rangle \langle j_1, j_2, j, m| = I.$$

非耦合/耦合表象间基底变换 对于确定的 j_1 和 j_2 , 在 $(2j_1 + 1)(2j_2 + 1)$ 维空间中

$$|j_1, j_2, j, m\rangle = \sum_{m_1=-j_1}^{j_1} \sum_{m_2=-j_2}^{j_2} |j_1, m_1, j_2, m_2\rangle \langle j_1, m_1, j_2, m_2 | j_1, j_2, j, m\rangle,$$

定义矢量耦合系数 Clebsch-Gordan 系数

$$C_{j_1 m_1 j_2 m_2}^{j m} = \langle j_1, m_1, j_2, m_2 | j_1, j_2, j, m\rangle$$

则

$$|j_1, j_2, j, m\rangle = \sum_{m_1=-j_1}^{j_1} \sum_{m_2=-j_2}^{j_2} C_{j_1 m_1 j_2 m_2}^{j m} |j_1, m_1, j_2, m_2\rangle \quad (7.17)$$

总角动量本征值谱 对于确定的 j_1 和 j_2 , 总角量子数 j 的取值系列为

$$j = |j_1 - j_2|, \dots, j_1 + j_2 \quad (7.18)$$

由 $\hat{J}_z = \hat{J}_{1z} + \hat{J}_{2z}$

$$\begin{aligned} \hat{J}_z |j_1, j_2, j, m\rangle &= m\hbar |j_1, j_2, j, m\rangle = m\hbar \sum_{m_1, m_2} C_{j_1 m_1 j_2 m_2}^{j m} |j_1, m_1, j_2, m_2\rangle; \\ (\hat{J}_{1z} + \hat{J}_{2z}) |j_1, j_2, j, m\rangle &= (\hat{J}_{1z} + \hat{J}_{2z}) \sum_{m_1, m_2} C_{j_1 m_1 j_2 m_2}^{j m} |j_1, m_1, j_2, m_2\rangle \\ &= (m_1 + m_2)\hbar \sum_{m_1, m_2} C_{j_1 m_1 j_2 m_2}^{j m} |j_1, m_1, j_2, m_2\rangle. \end{aligned}$$

由 $|j_1, m_1, j_2, m_2\rangle$ 正交归一, $m = m_1 + m_2$.

故 $j_{\max} = m_{\max} = m_{1\max} + m_{2\max} = j_1 + j_2$, 又表象变换不改变维数

$$\sum_{j=j_{\min}}^{j_{\max}} 2j + 1 = (2j_1 + 1)(2j_2 + 1) \Rightarrow j_{\min} = |j_1 - j_2|. \quad \square$$

7.5 碱金属原子能谱的双线结构和 Zeeman 效应

碱金属原子 (${}_3\text{Li}$, ${}_{11}\text{Na}$ 等) 中的原子实^{II}比较稳定, 低激发能级来自价电子的激发. 价电子的 Hamilton 量

$$\hat{H}_0 = -\frac{\hbar^2}{2\mu} \nabla^2 + V(r). \quad (7.19)$$

屏蔽 Coulomb 场

$$V(r) = -\frac{e^2}{r} - \lambda \frac{ae^2}{r^2}, \quad 0 < \lambda \ll 1.$$

非耦合表象: 力学量完全集 $\{\hat{H}_0, \hat{L}^2, \hat{L}_z, \hat{S}^2, \hat{S}_z\}$, 有

$$\hat{H}_0 |n, \ell, m_\ell, m_s\rangle = E_{n\ell}^0 |n, \ell, m_\ell, m_s\rangle,$$

表达式中略去了电子自旋 $s \equiv 1/2$. 其简并度 $2(2\ell + 1)$.

耦合表象: $\{\hat{H}_0, \hat{L}^2, \hat{S}^2, \hat{J}^2, \hat{J}_z\}$, 有

$$\hat{H}_0 |n, \ell, j, m_j\rangle = E_{n\ell}^0 |n, \ell, j, m_j\rangle.$$

自旋-轨道耦合项 除了 Coulomb 作用外, 价电子的自旋磁矩还受到来自电子轨道运动的内磁场的作用. 内磁场很强, 一般 ~ 10 T. 电子的自旋磁矩与内磁场的相互作用能 (Thomas 项)

$$\hat{H}_{LS} = \xi(r) \hat{\mathbf{L}} \cdot \hat{\mathbf{S}} \quad (7.20)$$

通过 Dirac 方程并取非相对论极限可知

$$\xi(r) = \frac{1}{2\mu^2 c^2} \frac{1}{r} \frac{dV}{dr}.$$

\hat{H}_{LS} 对能级的贡献很小, 但能引起能级劈裂, 形成能谱的双线结构. 在原子核的壳结构中, 核子之间的强自旋轨道耦合起着极其重要的作用.

为使

$$\hat{H} = \hat{H}_0 + \hat{H}_{LS} = \hat{H}_0 + \frac{1}{2} \xi(r) (\hat{J}^2 - \hat{L}^2 - \hat{S}^2)$$

最大限度对角化, 力学量完全集应该包括尽量多的与 \hat{H} 对易的算符, 由于非耦合表象中的 \hat{L}_z, \hat{S}_z 与 \hat{J}^2 不对易, 故选取非耦合表象基底来计算 \hat{H} 的矩阵元.

^{II}原子核及内层满壳电子, 比如 Li^+ .

用对角矩阵元近似代表能级

$$\begin{aligned} E_{n\ell j} &\doteq \langle n, \ell, j, m_j | \hat{H} | n, \ell, j, m_j \rangle \\ &= E_{n\ell}^0 + \frac{\hbar^2}{2} \left[j(j+1) - \ell(\ell+1) - \frac{3}{4} \right] \langle n, \ell, j, m_j | \xi(r) | n, \ell, j, m_j \rangle \end{aligned}$$

而

$$\begin{aligned} &\langle n, \ell, j, m_j | \xi(r) | n, \ell, j, m_j \rangle \\ &= \sum_{s_z} \sum_{s'_z} \int \langle n, \ell, j, m_j | \mathbf{r}, s \rangle \langle \mathbf{r}, s | \xi(r) | \mathbf{r}', s' \rangle \langle \mathbf{r}', s' | n, \ell, j, m_j \rangle d^3r d^3r' \end{aligned}$$

其中

$$\begin{aligned} \langle \mathbf{r}, s | n, \ell, j, m_j \rangle &= R_{n\ell}(r) \sum_{m_\ell, m_s} C_{\ell m_\ell s m_s}^{j m_j} Y_\ell^{m_\ell}(\theta, \varphi) \chi_{m_s}(s_z); \\ \langle \mathbf{r}, s | \xi(r) | \mathbf{r}', s' \rangle &= \xi(r) \delta(r - r') \delta(\theta - \theta') \delta(\varphi - \varphi') \delta_{s, s'}. \end{aligned}$$

故

$$\langle n, \ell, j, m_j | \xi(r) | n, \ell, j, m_j \rangle = \int_0^{+\infty} R_{n\ell}(r) \xi(r) R_{n\ell}(r) r^2 dr = \langle \xi \rangle_{n\ell}.$$

计及 \hat{H}_{LS} 后碱金属原子的能级

$$E_{n\ell j} \doteq E_{n\ell}^0 + \frac{\hbar^2}{2} \left[j(j+1) - \ell(\ell+1) - \frac{3}{4} \right] \langle \xi \rangle_{n\ell}$$

$\ell \neq 0$ 时, $j = \ell \pm 1/2$, 能级分裂为两条

$$E_{n\ell j} \doteq E_{n\ell}^0 + \begin{cases} \frac{\hbar^2}{2} \ell \langle \xi \rangle_{n\ell}, & j = \ell + \frac{1}{2} \\ -\frac{\hbar^2}{2} (\ell + 1) \langle \xi \rangle_{n\ell}, & j = \ell - \frac{1}{2} \end{cases}$$

自旋角动量和轨道角动量平行的态的能量比反平行态的能量高.

$\ell = 0$ 时, $j = 1/2$ 不分裂.

正常 Zeeman 效应 1896 年, Zeeman 做实验发现原子在外磁场中发光谱线一分为三的现象, 称为 Zeeman 效应. 他的老师 Lorentz 利用电子论^{III}对此给出了理论解释, 1902 年二人共同获得 Nobel 物理学奖.

^{III}用到了中学学到的 Lorentz 力.

在外磁场下价电子的 Hamilton 量 (忽略 \hat{H}_{LS})

$$\hat{H} = \hat{H}_0 + \frac{\mu_B B_0}{\hbar} (\hat{L}_z + 2\hat{S}_z),$$

非耦合表象中 \hat{H} 是对角化的,

$$E_{n\ell m_\ell m_s} = E_{n\ell}^0 + \mu_B B_0 (m_\ell + 2m_s).$$

外磁场破坏了原子的球对称性, 使能级关于磁量子数的简并完全消除.

跃迁的选择定则为

$$\Delta\ell = \pm 1, \quad \Delta m_\ell = 0, \pm 1, \quad \Delta m_s = 0.$$

注意: 跃迁只在 $s = 1/2$ 或 $s = -1/2$ 两组能级内部进行, 而不允许 $s = \pm 1/2$ 间跃迁. 因此每条光谱线都分裂为三条, 间隔相同.

反常 Zeeman 效应 后来又发现了比三条谱线更复杂的分裂现象, 称为反常 Zeeman 效应. 这是因为在外磁场较弱时不能忽略 \hat{H}_{LS}

$$\hat{H} = \hat{H}_0 + \hat{H}_{LS} + \frac{\mu_B B_0}{\hbar} (\hat{J}_z + \hat{S}_z).$$

由于 \hat{J}^2 与 \hat{S}_z 不对易, 第三项矩阵元关于 j 不对角, 但因磁场 B_0 较小, 可取对角矩阵元近似

$$E_{n\ell j m_j} \doteq E_{n\ell j} + \omega_L (m_j \hbar + \langle n\ell j m_j | \hat{S} | n\ell j m_j \rangle)$$

换基底得

$$\langle n\ell j m_j | \hat{S} | n\ell j m_j \rangle = \hbar \sum_{m_\ell m_s} \left| C_{\ell m_\ell s m_s}^{j m_j} \right|^2 m_s = \hbar \sum_{m_s} \left| C_{\ell, m_\ell - m_s, s m_s}^{j m_j} \right|^2 m_s.$$

由

7.6 自旋单态、三重态及纠缠态

单体近似下两个电子的自旋函数 两电子体系, 自旋自由度为 2. 可选择 $\{\hat{S}_{1z}, \hat{S}_{2z}\}$ 为自旋力学量的完全集, 也可以选 $\{\hat{S}^2, \hat{S}_z\}$ 为自旋力学量完全集.

单体近似下, 忽略两个电子间的 s-s 耦合. 两电子的自旋函数 $\chi(s_{1z}, s_{2z})$ 是每个电子自旋函数 $\chi_\alpha(s_z)$ 之积

$$\chi(s_{1z}, s_{2z}) = \chi_{m_s}(s_{1z}) \chi_{m'_s}(s_{2z}), \quad s_1 = s_2 = \frac{1}{2}, \quad m_s = m'_s = \pm \frac{1}{2}.$$

无耦合表象 $\{\hat{S}_{1z}, \hat{S}_{2z}\}$ 的基底 $|\uparrow\uparrow\rangle, |\uparrow\downarrow\rangle, |\downarrow\uparrow\rangle, |\downarrow\downarrow\rangle$, 有对称自旋函数

$$|\uparrow\uparrow\rangle, |\downarrow\downarrow\rangle, |\uparrow\downarrow\rangle := \frac{1}{\sqrt{2}}(|\uparrow\downarrow\rangle + |\downarrow\uparrow\rangle)$$

及反对称函数

$$|\downarrow\uparrow\rangle := \frac{1}{\sqrt{2}}(|\uparrow\downarrow\rangle - |\downarrow\uparrow\rangle)$$

这四个构成正交归一系. 下面证明, 他们也是 $\{\hat{S}^2, \hat{S}_z\}$ 的本征态.

两电子体系的总角动量平方算符

$$\hat{S}^2 = (\hat{\mathbf{S}}_1 + \hat{\mathbf{S}}_2)^2 = \hat{S}_1^2 + \hat{S}_2^2 + 2(\hat{S}_{1x}\hat{S}_{2x} + \hat{S}_{1y}\hat{S}_{2y} + \hat{S}_{1z}\hat{S}_{2z})$$

又

$$\begin{aligned} S_z |\uparrow\rangle &= \frac{\hbar}{2} |\uparrow\rangle, \quad S_z |\downarrow\rangle = \frac{\hbar}{2} |\downarrow\rangle, \\ S_x |\uparrow\rangle &= \frac{\hbar}{2} \begin{bmatrix} 0 & 1 \\ 1 & 0 \end{bmatrix} \begin{bmatrix} 1 \\ 0 \end{bmatrix} = \frac{\hbar}{2} |\downarrow\rangle, \quad S_x |\downarrow\rangle = \frac{\hbar}{2} |\uparrow\rangle \\ S_y |\uparrow\rangle &= \frac{\hbar}{2} \begin{bmatrix} 0 & -i \\ i & 0 \end{bmatrix} \begin{bmatrix} 1 \\ 0 \end{bmatrix} = \frac{i\hbar}{2} |\downarrow\rangle, \quad S_y |\downarrow\rangle = -\frac{i\hbar}{2} |\uparrow\rangle. \end{aligned}$$

故

$$\begin{aligned} S |\uparrow\uparrow\rangle &= \frac{3}{4}\hbar^2 |\uparrow\uparrow\rangle + \frac{3}{4}\hbar^2 |\uparrow\uparrow\rangle + 2 \sum S_{1\alpha} |\uparrow\rangle S_{2\alpha} |\uparrow\rangle \\ &= \left(\frac{3}{4} + \frac{3}{4} + 0 + 0 + \frac{1}{2} \right) \hbar^2 |\uparrow\uparrow\rangle = 2\hbar^2 |\uparrow\uparrow\rangle, \\ S_z |\uparrow\uparrow\rangle &= S_{1z} |\uparrow\uparrow\rangle + S_{2z} |\uparrow\uparrow\rangle = \hbar |\uparrow\uparrow\rangle. \end{aligned}$$

因此四个态

$$\begin{aligned} \chi_{11} : \quad & S |\uparrow\uparrow\rangle = 2\hbar^2 |\uparrow\uparrow\rangle & S_z |\uparrow\uparrow\rangle &= \hbar |\uparrow\uparrow\rangle \\ \chi_{1-1} : \quad & S |\downarrow\downarrow\rangle = 2\hbar^2 |\downarrow\downarrow\rangle, & S_z |\downarrow\downarrow\rangle &= -\hbar |\downarrow\downarrow\rangle; \\ \chi_{10} : \quad & S |\uparrow\downarrow\rangle = 2\hbar^2 |\uparrow\downarrow\rangle, & S_z |\uparrow\downarrow\rangle &= 0; \\ \chi_{00} : \quad & S |\downarrow\uparrow\rangle = 0, & S_z |\downarrow\uparrow\rangle &= 0. \end{aligned}$$

可作为耦合表象 $\{\hat{S}_1^2, \hat{S}_2^2, \hat{S}^2, \hat{S}_z\}$ 的基底

自旋三重态: 两电子自旋相互平行的态是三重简并的; 自旋单态: 两电子自旋相互反平行的态是单一的.

纠缠态 由两个粒子组成的复合体系的量子态, 可表示为每个粒子的量子态的乘积, 称为可分离态, 如 χ_{11}, χ_{1-1} ; 反之则为纠缠态, 如 χ_{10}, χ_{00} .